

НОРМАЛЬНІ ХВИЛІ КРИВОЛІНІЙНОГО ХВИЛЕВОДУ

В. Т. МАЦИПУРА, О. О. ТРУНОВ

*Київський національний університет імені Тараса Шевченка
03680, м. Київ, просп. Глушкова, 4е
e-mail: trunov.olexandr@gmail.com*

ВСТУП

В роботі розглядається плоский хвилевід, поверхні якого на деякій ділянці являють собою дуги кола, рис. 1. До криволінійної ділянки прилягають плоскопаралельні хвилеводи. Оскільки такі структури часто зустрічаються в конструкціях акустичних і електромагнітних хвилеводів, то інтерес до дослідження хвильового поля в них не слабшає (див., наприклад, [1, 2]).

Для опису геометрії хвилеводу і подальшої побудови розв'язку задачі поширення гармонічної хвилі в такому хвилеводі введемо три системи координат: дві декартові (x, y) , (x', y') і полярну (r, φ) з загальним центром у точці O . Радіуси поверхонь криволінійної ділянки хвилеводу позначені r_1 та r_2 . Ширина хвилеводу на всій його довжині залишається сталою і дорівнює $h = r_2 - r_1$. Кут розкриття криволінійної частини хвилеводу позначений як φ_0 . Всі поверхні хвилеводу будемо вважати або акустично жорсткими, або акустично м'якими. Хвилевід наповнений ідеальною рідиною, яка має густину ρ та швидкість звуку c . Часовий множник $\exp(-i\omega t)$ не пишемо.

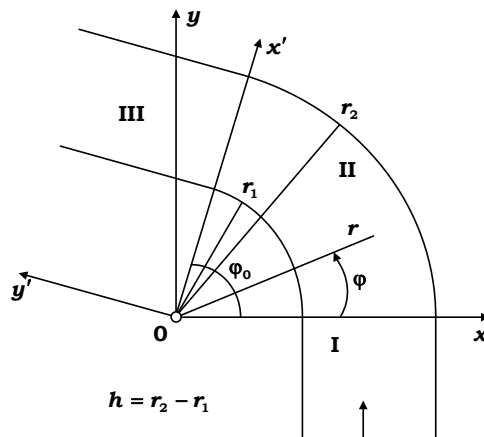


Рис. 1

ПОБУДОВА РОЗВ'ЯЗКУ

Природнім чином вся область існування звукового поля розбивається на три області: області I та III – плоскопаралельні хвилеводи, область II – ділянка хвилеводу з криволінійними поверхнями. Нехай в області I в додатному напрямку вісі Oy поширюється m -та мода плоскопаралельного хвилеводу. Тоді поля в областях I и III запишемо у вигляді суперпозиції відповідних мод плоскопаралельного хвилеводу. Для хвилеводу з акустично жорсткими поверхнями поля мають вигляд

$$p_I = \cos(\alpha_n(x - r_1)) \exp(i\gamma_n y) + \sum_{n=0}^{\infty} A_n \cos(\alpha_n(x - r_1)) \exp(-i\gamma_n y), \quad (1)$$

$$p_{III} = \sum_{n=0}^{\infty} A_n \cos(\alpha_n(x' - r_1)) \exp(i\gamma_n y'), \quad (2)$$

де $\alpha_n = n\pi / h$, $\gamma_n = \sqrt{k^2 - \alpha_n^2}$, $k = \omega / c$.

Для хвилеводу з акустично м'якими межами у формулах (1), (2) функції $\cos(\alpha_n(x - r_1))$, що визначають власні форми мод, замінюються на функції $\sin(\alpha_n(x - r_1))$, де $\alpha_n = (n + 1)\pi / h$, $n = 0, 1, 2, \dots$

Перед тим як записати поле в області II визначимо вираз для нормальних хвиль криволінійної частини хвилеводу. Частковий розв'язок рівняння Гельмгольца в полярних координатах для області II має вигляд (див. [3]):

$$p = [J_\nu(kr) + EY_\nu(kr)] \exp(i\nu\varphi) \quad (3)$$

Використовуючи граничні умови на жорстких поверхнях області II ($\partial p / \partial r = 0$ при $r = r_1$ и $r = r_2$), визначаємо сталу $E = -J'_\nu(kr_2) / Y'_\nu(kr_2)$ та приходимо до дисперсійного рівняння, яке встановлює зв'язок між частотою $\omega = kc$ та сталою поширення ν :

$$J'_\nu(kr_2)Y'_\nu(kr_1) - J'_\nu(kr_1)Y'_\nu(kr_2) = 0. \quad (4)$$

В формулі (4) штрихом позначено похідну від функції Бесселя по аргументу. Аналогічно, використовуючи граничні умови на м'яких поверхнях області II ($p = 0$ при $r = r_1$ и $r = r_2$), визначаємо константи $E = -J_\nu(kr_2) / Y_\nu(kr_2)$ і приходимо до такого дисперсійного рівняння:

$$J_\nu(kr_2)Y_\nu(kr_1) - J_\nu(kr_1)Y_\nu(kr_2) = 0. \quad (5)$$

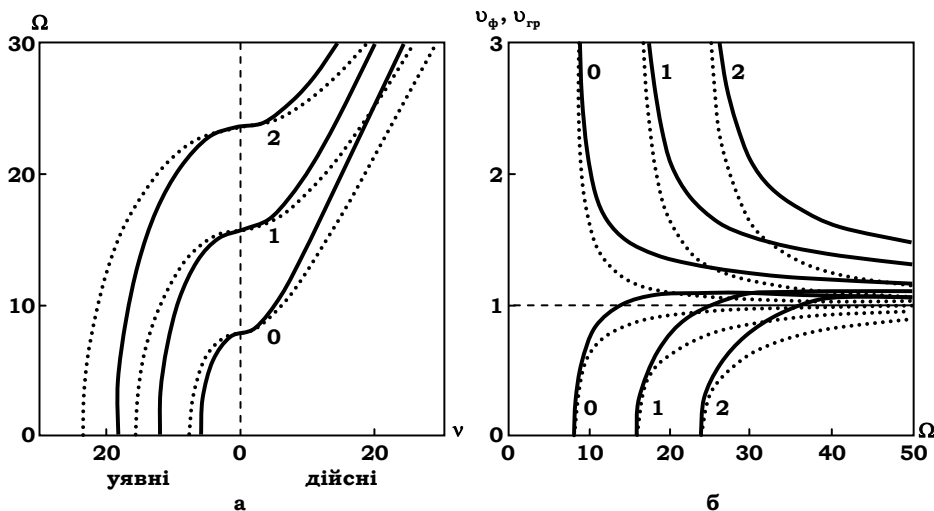


Рис. 2

На рис. 2 а побудовано дисперсійні криві для акустично м'яких поверхонь хвилеводу, а на рис. 3 а – для хвилеводу з жорсткими стінками. Вздовж вісі ординат відкладено безрозмірну

частоту $\Omega = kr_2 = \omega r_2 / c$, вздовж вісі абсцис – стали поширення ν , радіус $r_1 = r_2 q$, де стала $q < 1$ (в даному випадку $q = 0,6$). Точкові криві відповідають плоскому хвилеводу з тим же, що і у криволінійного хвилеводу поперечним розміром. Цифри поблизу кривих визначають номер нормальної хвилі. Як бачимо, якщо критичні частоти мод криволінійного і плоскопаралельного хвилеводів з графічною точністю співпадають, то подальший хід кривих відрізняється. Природно цей факт знаходить своє відображення при побудові частотних залежностей фазових та групових швидкостей нормальних хвиль (рис. 2 б, 3 б).

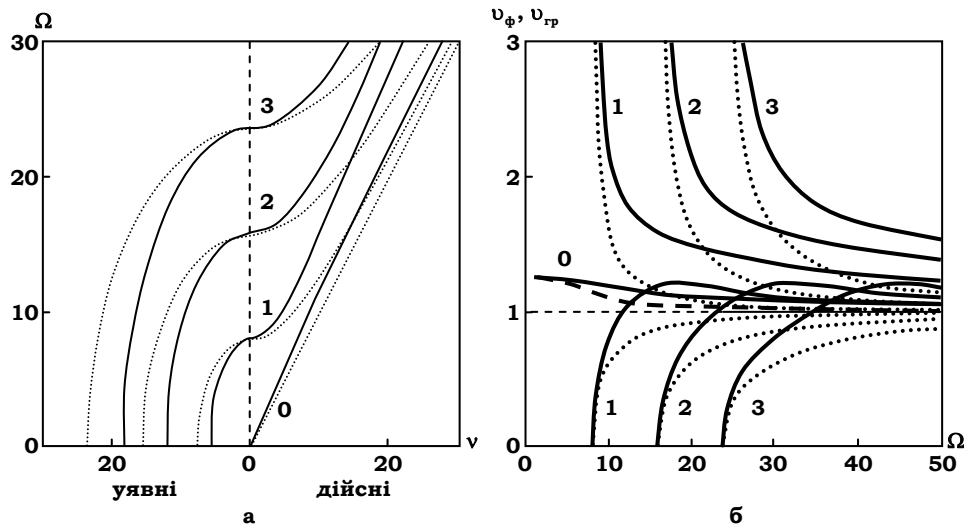


Рис. 3

Провівши на рис. 2 а чи рис. 3 а горизонтальну пряму, яка відповідає заданому значенню частоти, визначаємо тим самим кінцеве число однорідних і нескінченне число неоднорідних нормальних хвиль. Їх суперпозиція дозволить описати довільне поле в криволінійній частині хвилеводу.

Таким чином, n -ту моду хвилеводу можна представити у вигляді

$$p_n = R_{v_n}(kr) \exp(iv_n \varphi), \quad (6)$$

де власні форми мод для акустично жорсткого хвилеводу записуються як

$$R_{v_n}(kr) = J_{v_n}(kr) - \frac{J'_{v_n}(kr_2)}{Y'_{v_n}(kr_2)} Y_{v_n}(kr), \quad (7)$$

а для акустично м'якого хвилеводу

$$R_{v_n}(kr) = J_{v_n}(kr) - \frac{J_{v_n}(kr_2)}{Y_{v_n}(kr_2)} Y_{v_n}(kr). \quad (8)$$

Як приклад, на рис. 4 (м'які стінки) і рис. 5 (жорсткі стінки) показано профілі розподілу тиску в радіальному перерізі криволінійного хвилеводу для однорідних і перших неоднорідних мод при $\Omega = kr_2 = 27$ і $q = 0,6$. Точкові криві визначають власні форми плоского хвилеводу з тією ж хвильовою шириною, що і у криволінійного хвилеводу. Як бачимо, власні форми перших мод зазначених хвилеводів істотно відрізняються.

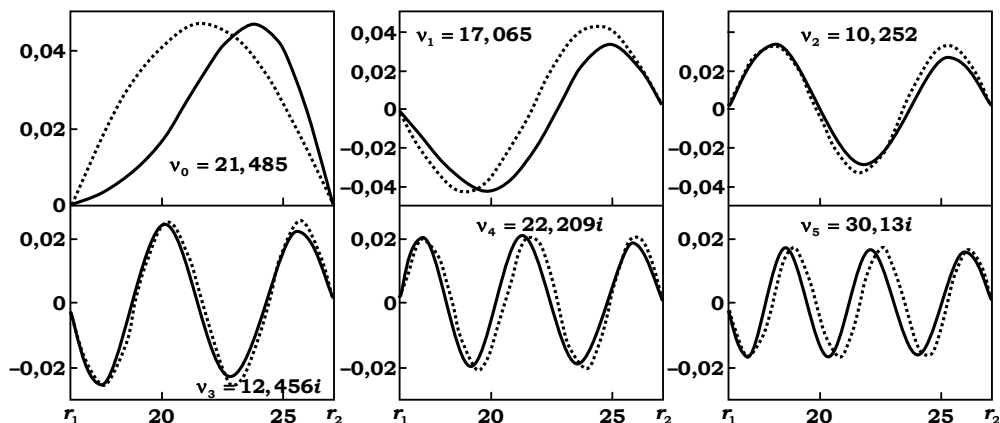


Рис. 4.

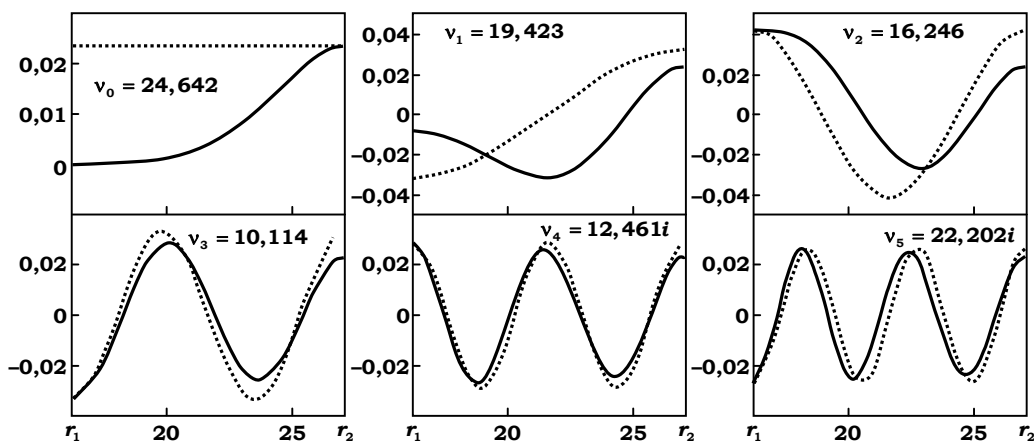


Рис. 5.

Отже, поле в області II запишемо у вигляді

$$p_{II} = \sum_{n=0}^{\infty} R_{v_n}(kr) [B_n \exp(iv_n \varphi) + C_n \exp(iv_n (\varphi - \varphi_0))] \quad (9)$$

Для розв’язання задачі поширення хвилі в хвилеводі слід розписати умови спряження звукових полів на межах часткових областей і скористатися властивістю ортогональності набору функцій $\cos(\alpha_n(x - r_1))$, $x = [r_1, r_2]$ та $R_{v_n}(kr)$, $r = [r_1, r_2]$.

ВИСНОВКИ

В роботі побудовано розв’язок задачі поширення звукових хвиль в криволінійному хвилеводі як для випадку ідеально м’яких меж, так і для ідеально жорстких. Визначені дисперсійні співвідношення і побудовано дисперсійні криві для криволінійної області. Це дало можливість визначити частотні залежності фазових та групових швидкостей мод криволінійного хвилеводу.

Також побудовано розподіл тиску в радіальному перерізі криволінійного хвилеводу з жорсткими і м'якими поверхнями для однорідних і перших неоднорідних мод. Проведено порівняльний аналіз з модами плоскопаралельного хвилеводу відповідної ширини. Встановлено, що власні форми однорідних мод (особливо перших номерів) криволінійного і плоскопаралельного хвилеводів можуть суттєво відрізнятися.

ЛІТЕРАТУРА

1. *Cochran J. A., Pecina R. G.* Mode propagation in continuously curved waveguides. - Radio science, 1966. – **34**. –P. 679–696.
2. *Horvat M., Prosen T.* The bends on quantum waveguide and cross-products of Bessel functions // J. Phys. A.: Math. Gen. – 2007. – **1**. – 34 p.
3. *Rzhevkin S.N.* Course of lectures on theory of a sound. - Moscow: MGH, 1960. - 336 p. (in Russian).